

حرارة التربة (Soil Temperature)

١- الصفات الحرارية للتربة

أ- السعة الحرارية

ان الحرارة النوعية لاية مادة يمكن تعريفها بانها عدد السرعات الحرارية اللازمة لرفع درجة حرارة غرام واحد درجة مئوية واحدة ، والسعة الحرارية لاية مادة تكون مساوية الى حرارتها النوعية مضروبة في كتلتها ، ولهذا فالحرارة النوعية للماء تكون وحدة واحدة لجميع المكونات الخاصة بالتربة لها حرارة نوعية اقل بكثير من الحرارة النوعية للماء وبعض المعلومات التي توصل اليها كل من (Lang ، ١٨٧٨ و Ultrich ، ١٨٩٤) عن قيم الحرارة النوعية لمكونات التربة موضحة في الجدول (١٠ - ١) . يلاحظ من الجدول أن قيمة الحرارة النوعية للكوارتز اقل من مكونات التربة الرئيسية ، وان الهيموس (الدبال) له اعلى قيمة ماعدا الماء ، وان معدن الطين المنيوسيليكات الكاؤولين له حرارة نوعية اعلى من الكوارتز. وبسبب ان الكوارتز، سليكات الالمنيوم، الماء والدبال هي من المكونات الرئيسية لمعظم الترب ، فيكون من الواضح بان الدبال والماء سوف يؤثران على الحرارة النوعية. ويمكن حساب الحرارة النوعية للتربة C_s من حاصل جمع الحرارة النوعية للمكونات المفردة مضروبة في كتلتها

$$C_s = C_1M_1 + C_2M_2 + C_3M_3 + \dots + C_nM_n \text{ (Cal / gm } ^\circ\text{C)}$$

ان السعة الحرارية لمكونات التربة تكون مساوية الى الحرارة النوعية مضروبة \times كثافتها (كثافة المواد) والسعة الحرارية للتربة لكل وحدة حجم يمكن حسابها من المعادلة الآتية .

$$C_v = C_1X_1 + C_2X_2 + C_3X_3 + \dots + C_nX_n \text{ (Cal / cm}^3 \text{ } ^\circ\text{C)}$$

جدول (١٠ - ١) الحرارة النوعية لمكونات التربة المختلفة.

الحرارة النوعية				نوع المعدن
Bowers and Hanks (1962)	Kersten (1949)	Ulrich (1891)	Lang (1878)	
٠,١٩٠	٠,١٩٠	٠,١٩١	٠,١٩٨	الكوارتز (الرمل الخشن)
—	٠,١٩٧	٠,١٩٢	٠,١٩٤	الكوارتز (الرمل الناعم)
—	—	٠,١٨٩	٠,٢٠٩	الكوارتز (الدقيق ، المسحوق)
—	—	٠,٢٢٤	٠,٢٣٣	الكاولين
٠,٢٢٠ - ٢١٠	٠,١٩٠	٠,٢٠٥ - ١٩٤	—	الفلدسبار
—	—	٠,٢٠٨ - ٠,٢٠٦	—	المايكا
٠,٢٢	—	٠,١٨٣	—	انتاييت
٠,٢٣	—	٠,٢٢٢	—	فولومبايت
—	—	—	٠,٢١٧	أوكسيد الألمنيوم
—	—	٠,١٦٥	٠,١٦٣	أوكسيد الحديديك
—	—	٠,٤٤٣	٠,٤٧٧	الدبال
—	—	—	٠,٢٤٩	الترب الرملية الكلسية
—	—	—	٠,٢٥٧	الترب الرملية الدبالية الكلسية
—	—	—	٠,٢٦٧	ترب الحدائق
٠,٢٧	—	—	—	الطين
٠,٢٦	—	—	—	الطين الغريني
—	٠,١٩٤ - ٠,١٦٤	—	—	الغرين المزيجي

حيث ان C_p تمثل السعة الحرارية للتربة X_w, X_o, X_s تمثل حجم الجزء الصلب لمواد التربة ، الماء والهواء على التوالي و C_w, C_o, C_s تمثل السعة الحرارية للمواد اعلاه على التوالي. وبسبب ان المواد الصلبة تتكون من المعادن والمادة العضوية والتي تكون سعتها الحرارية لكل وحدة حجم تقريباً (0.46 ، 0.86) على التوالي وبسبب ان مكونات الهواء في المعادلة الاخيرة تكون صغيرة جداً ولكي تكون معنوية ، يمكن تبسيطها كما يأتي :

$$C_p = 0.46X_w + 0.60X_o + X_s$$

حيث ان X_w, X_o, X_s تمثل حجم اجزاء المعادن والمادة العضوية والماء على التوالي. يلاحظ ان السعة الحرارية للتربة الرطبة تعتمد على المحتوى الرطوبي للتربة ، تركيب حبيبات التربة والمادة العضوية الموجودة في التربة ويمكن ملاحظة ذلك من العلاقة الآتية :

$$C_p = \rho_{\text{moist}} C_p = \rho_s (1 + \theta_w) C_p$$

حيث تمثل C_p السعة الحرارية على اساس الحجم ، C_p السعة الحرارية على اساس الكتلة ، θ_w المحتوى الرطوبي على اساس الكتلة وان ρ_s, ρ_w هي كثافة الماء والتربة الظاهرية على التوالي. ويمكن كتابة المعادلة اعلاه بالصيغة الآتية :

$$C_p = \rho_s (\bar{C}_p + \theta_w C_{pw})$$

حيث تمثل \bar{C}_p معدل السعة الحرارية النوعية لدقائق التربة ، C_{pw} الحرارة النوعية للماء (التي تعرف بانها كمية الحرارة اللازمة لرفع درجة حرارة 1 غم من الماء درجة مئوية واحدة وتكون مساوية الى 1 سعرة لكل غرام لكل درجة حرارة مئوية). اما الحرارة النوعية لدقائق التربة والتي تكون مساوية الى 0.2 سعرة لكل غرام لكل درجة مئوية واحدة. وعند التعويض عن هذه القيم في المعادلة اعلاه نحصل على

$$C_p = \rho_s (0.2 + \theta_w) = \text{Cal / gm } ^\circ\text{C}$$

وعند ربط المعادلات اعلاه نحصل على $C_p = \frac{0.2 + \theta_w}{1 + \theta_w} = \text{Cal / gm } ^\circ\text{C}$ وفي النهاية نحصل على

$$C_p = 0.2\rho_s + \theta_w$$

ان كمية الحرارة Q_r اللازمة لرفع درجة حرارة حجم معين من التربة V من درجة حرارة معينة الى درجة حرارة اخرى يتم حسابها كما في المعادلة الآتية :

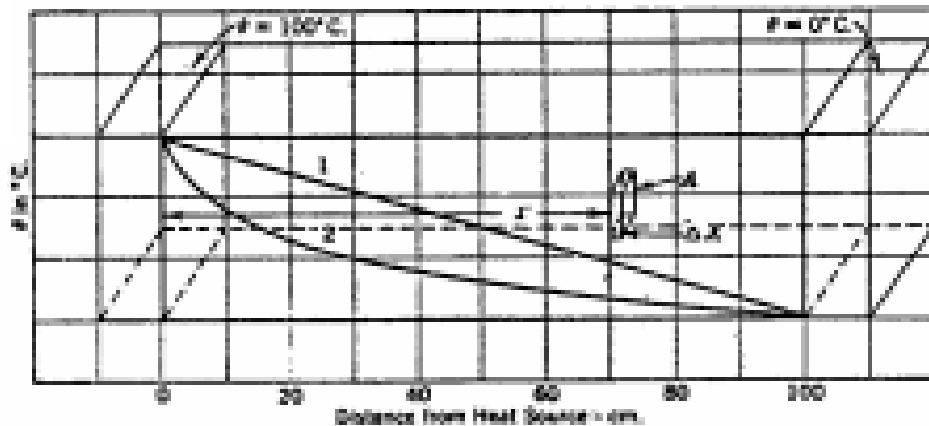
$$Q_r = C_p V (T_2 - T_1) = C_p V \Delta T$$

ب- الايصالية الحرارية والانتشار

١- نظرية التدفق الحراري (الجريان الحراري)

لفهم التدفق الحراري خلال مادة معينة ، دعنا نتبع الفكرة العامة المستعملة من قبل (Patten ، ١٩٠٩) وذلك باخذ قضيب معدني بطول (١٠٠ سم) ويوضع بتلامس مع مصدر حراري . ونتيجة لهذه الظروف من الجريان المستمر للحرارة ، تكون احدى النهايات عند درجة حرارة مقدارها (١٠٠ م) والنهاية الاخرى عند صفر درجة مئوية كما موضح في المنحنى (رقم ١) شكل (١-١٠) . ولنغرض حساب كمية الحرارة الجارية خلال اي جزء من القضيب ، فاذا كان هناك مقطع مستطيل ضمن القضيب يبعد مسافة x من النهاية الساخنة ، تصور مقطع صغير مستطيل الشكل ومساحة المقطع العرضي لهذا الجزء A ذو السمك Δx (تغير صغير جداً في المسافة) . فاذا كانت θ حرارة وجه هذا المقطع عند x ، فجريان الحرارة لكل وحدة زمن خلال السطح A سوف تكون مساوية الى

$$\theta = - KA \left(\frac{d\theta}{dx} \right)$$



شكل (١-١٠) تدفق الحرارة خلال التربة .

حيث ان الانحدار الحراري يتمثل $\left(\frac{d\theta}{dx} \right)$ او التغير في θ مع المسافة عن المصدر الحراري ، K تمثل الايصالية الحرارية للمواد وان الاشارة السالبة تمثل نقصان الحرارة عند زيادة المسافة x . وهذا التعبير البسيط عن حالة الجريان الحراري من النطاق الحار الى

التطابق البارد للتقريب يزداد طردياً مع الاصلية للمواد . مساحة المقطع العرضي والتي خلالها يحصل الجريان الحراري والاختلافات الكبيرة في الحرارة بين النهاية الحارة والباردة . بصورة عامة ، الاصلية الحرارية تعرف بانها كمية الحرارة التي تجري خلال وحدة مساحة ذو وحدة سمك في وحدة زمن تحت وحدة انحدار حراري . لهذا فحرارة السطح عند مسافة $X + \Delta X$ من المصدر الحراري سوف تكون اوطأ او اقل منها عند X وسوف تكون

مساوية الى $\left[\theta - \left(\frac{d\theta}{dx} \right) \Delta X \right]$ وبسبب $\frac{d\theta}{dx}$ تكون المعدل والتي عندها النقصان الحراري يحصل مع زيادة المسافة X من المصدر الحراري . وعليه فان معدل النقصان مضروب في المسافة ΔX والتي عند الانخفاض في الحرارة سوف تعطي الانخفاض الكلي في الحرارة عند مرورها من X الى $X + \Delta X$ ، وفي هذه الحالة ΔX تكون صغيرة جداً وان هذا الانخفاض في الحرارة ربما يعد ثابتاً عبر هذه المسافة ، ونتيجة لذلك فجريان الحرارة خلال السطح من المقطع عند $X + \Delta X$ سوف تكون مساوية الى

$$\frac{d\theta}{dt} = -KA \left[\frac{d}{dx} \left(\theta - \frac{d\theta}{dx} \Delta X \right) \right]$$

فالتعبير ضمن الجزء الخارجي تكون ببساطة معدل التغير في الحرارة عند $X + \Delta X$ ، وبسبب ان الحرارة عند $X + \Delta X$ تكون اقل من تلك التي عند X وسوف تكون اقل حرارة تترك المقطع المستطيل الشكل من دخولها له وهذا الاختلاف يعطي التعبير الاتي :

$$\frac{d\theta}{dt} = -KA \left(\frac{d\theta}{dx} \right) - \left[-KA \left(\frac{d}{dx} \left(\theta - \left(\frac{d\theta}{dx} \right) \Delta X \right) \right) \right]$$

$$\frac{d\theta}{dt} = -KA \frac{d^2 \theta}{dx^2} \Delta X$$

والتي يمكن اختزالها الى

ان المقطع $\frac{d^2 \theta}{dx^2}$ تكون معدل التغير في الانحدار الحراري او التعجيل في تغير الحرارة

مع المسافة ، تحت الانحدار الثابت للحالة المستقرة . فهذا التعجيل يكون صفراً ولا يكون هناك اختلاف بين كمية الحرارة الداخلة والخارجة من هذا المقطع .

فاذا اعتبرنا ان الشكل (١٠ - ١) يمثل مربع من التربة وقبل وصول الحالة المستقرة ، فالحرارة عند كل نقطة في التربة تكون متغيرة طبقاً للمنحنى (2) وتحت هذه الظروف ان الجريان الحراري نحو احد الجهات من المستطيل لا تكون نفسها والتي تتركه عند الوجه الاخر وعند الافتراض بان متوسط الحرارة للمقطع ترتفع بواسطة كمية صغيرة $d\theta$ في وحدة الزمن الصغيرة dt . لهذا فكمية الحرارة اللازمة لرفع درجة حرارة نفس المقطع لكل وحدة زمن تكون مساوية الى :

$$AC \left(\frac{d\theta}{dt} \right) \Delta X$$

حيث ان C تمثل السعة الحرارية للتربة (والتي تساوي الحرارة النوعية الفعالة للتربة \times الكثافة الظهرية) . في هذا التعبير نلاحظ ان كمية الحرارة التي نحتاجها تكون مساوية الى حجم المقطع ($A \Delta X$) مضروبة في السعة الحرارية (C) في التغير الحراري $\left(\frac{d\theta}{dx} \right)$ فاذا كانت التربة معزولة عن المحيط الخارجي فانها سوف لا تفقد الحرارة اثناء عملية العزل وعليه :

$$AK \left(\frac{\partial^2 \theta}{\partial X^2} \right) \Delta X = AC \left(\frac{\partial \theta}{\partial t} \right) \Delta X$$

$$\frac{K}{C} \left(\frac{\partial^2 \theta}{\partial X^2} \right) = \frac{\partial \theta}{\partial t}$$

حيث تمثل هذه المعادلة الظواهر المتعلقة بحساب الاصلية الحرارية K من معلومات السعة الحرارية الفعالة C ، معدل التغير في الانحدار الحراري $\left(\frac{\partial^2 \theta}{\partial X^2} \right)$ والتغير في الحرارة عند نقطة معينة مع الزمن $\left(\frac{\partial \theta}{\partial t} \right)$. حيث ان الانتشار يتمثل بالنسبة بين الاصلية الحرارية K والسعة الحرارية الفعالة C والتي تساوي $\left(\frac{K}{C} \right)$ والتي تكون عبارة عن التغير الحراري والذي يحدث في اي جزء من التربة عند جريان الحرارة اليها من الطبقات المتجاورة ، ويكون التغير في الحرارة (م) في ١ ثانية عندما يكون الانحدار الحراري متغيراً بدرجة مئوية واحدة لكل سم^٣ (١ م / م^٣) . في بعض الاحيان يمكن تمييز نظرية

الايصالية الحرارية ببساطة عند اعتبارها ممثلة كمقطع مستطيل (الشكل ١٠ - ١) وعند اعتبار ان درجة الحرارة عند كل جانب من المقطع مساوية الى T_1 و T_2 وحجم المقطع d وكمية الحرارة الجارية عبر زمن معين Q ، فمعدل الحرارة الجارية لكل وحدة مساحة تكون $\left(\frac{Q}{At}\right)$ والانحدار الحراري $\frac{T_1 - T_2}{d}$ ونتيجة لذلك لذلك فالايصالية الحراري تساوي

$$K = \frac{\frac{Q}{At}}{\frac{(T_1 - T_2)}{d}} = \frac{Qd}{At(T_1 - T_2)}$$

ومن الملاحظ ان هذا القانون يشبه قانون دارسي لحساب الايصالية المائية للتربة ماعدا خصوصية الاستعمال والتطبيق .

وبسبب ان التربة وسط حيبي يتكون من الحالة الصلبة والسائلة والغازية ، فان الايصالية الحرارية سوف تعتمد على الصفات الحجمية لهذه المركبات (الحجم وانتظام الدقائق الصلبة ، وعلاقة التداخل بين الحالة الصلبة والسائلة) . يلاحظ بان الايصالية الحرارية للكوارتز تصل الى $(26.3 \times 10^{-10}$ سرعة /سم. ثا.م) عند قياسها بصورة متوازية الى المحور البلوري وتصل $(16.00 \times 10^{-10}$ سرعة /سم. ثا.م) عند قياسها بصورة عمودية على المحور البلوري وهذه القيم لكل من الماء والهواء هي $(1.4 \times 10^{-10}$ و 0.06×10^{-10} سرعة /سم. ثا.م) على التوالي والتي تؤدي الى جعل نسبة الايصالية الحرارية (٣٣٣ : ٢٣ : ١) لكل من الكوارتز، الماء والهواء على التوالي . من هذا يلاحظ بان الايصالية الحرارية تتاثر ببعض الخصائص الفيزيائية للتربة والتي تشمل :

أ- نوع التربة والمسامية

يلاحظ بان الايصالية الحرارية للترب المختلفة تتبع التسلسل الاتي (الرمل < الغرين < الطين < المادة العضوية) . ان الجدول (١٠ - ٢) يبين نتائج عدة بحوث والتي لها علاقة بتاثير نوع التربة على الايصالية الحرارية . رغم ان الايصالية الحرارية لمكونات المعادن (الحالة الصلبة) تكون متباعدة نفس التسلسل في القيم (Simth ، ١٩٣٢) ، يلاحظ بان هذه الاختلافات في الايصالية الحرارية متعلقة بدرجة الفراص والمسامية

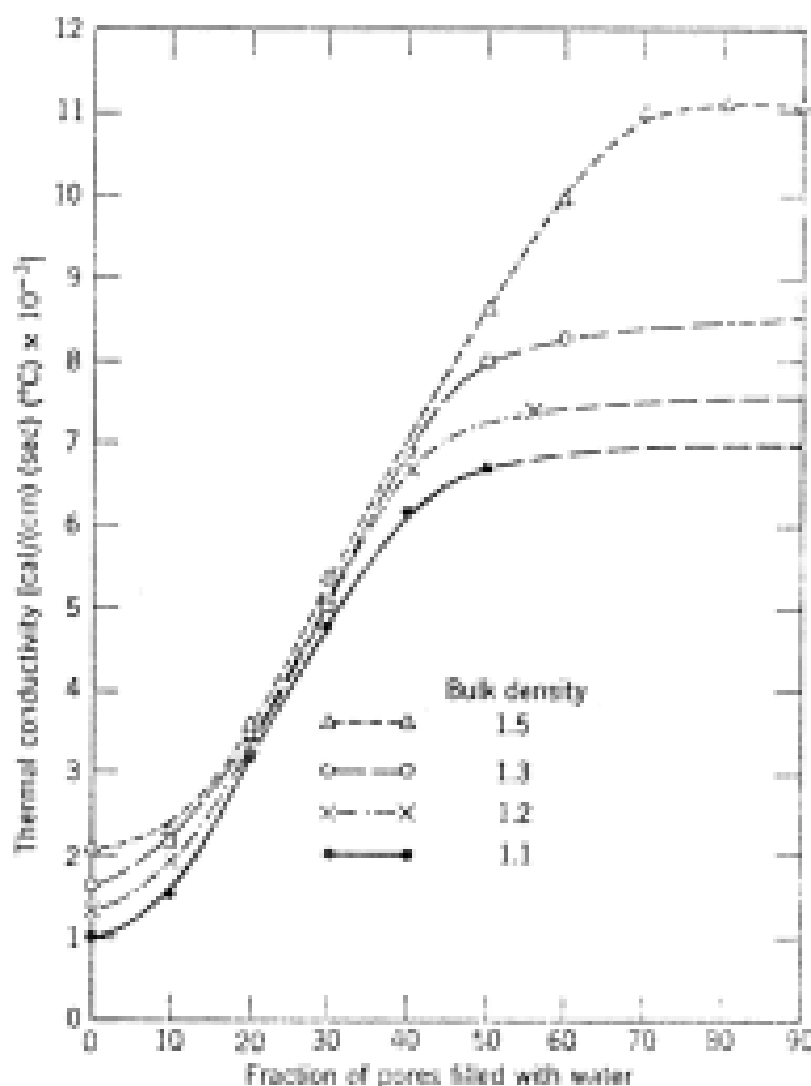
جدول (١٠ - ٢) الخصائص الحرارية للترب المختلطة

Geiger	الاختبارية الحرارية (مجم $\times 10^{-1}$)		الاختبارية الحرارية (مجم $\times 10^{-1}$)		Geiger	Van Schwarz	نوع التربة
	Makshabadi and Kohike	Van Duin	Van Duin	Makshabadi and Kohike			
(١٩٦٥)	(١٩٦٥)	(١٩٦٣)	(١٩٦٣)	(١٩٦٥)	(١٩٦٥)	(١٨٧٩)	
V_{100}	$+12,1$	$++4,4$	$++3,7$	$+4,3$	$4,0$	100	رمل رطب
F_{10}	$1,0$	$1,7$	$٠,٣٧$	$٠,٣٥$	$٠,٥٥$	$٨٥,٥$	رمل جاف
V_{10}	$+3,2$	$++3,٧$	$++3,١٨$	$+1,4$	$3,٥$	$9٠,3$	طين رطب
$1,2$	$1,٥$	$1,٨$	$٠,٣٧$	$٠,2٥$	$٠,1٧$	$٧٤,3$	طين جاف
—	$-2,٠$	—	—	$-4,2$	—	$4٩,3$	خرين مبال
—	$1,٨$	—	—	$٠,4٥$	—	$٨3,3$	خرين جاف
$1,2$	—	$-1,2$	$-٠,٨٢$	—	$٠,٨٥$	$٥٨,٨$	
F_{10}	—	$1,3$	$٠,11$	—	$٠,2٠$	$1٥,٥$	

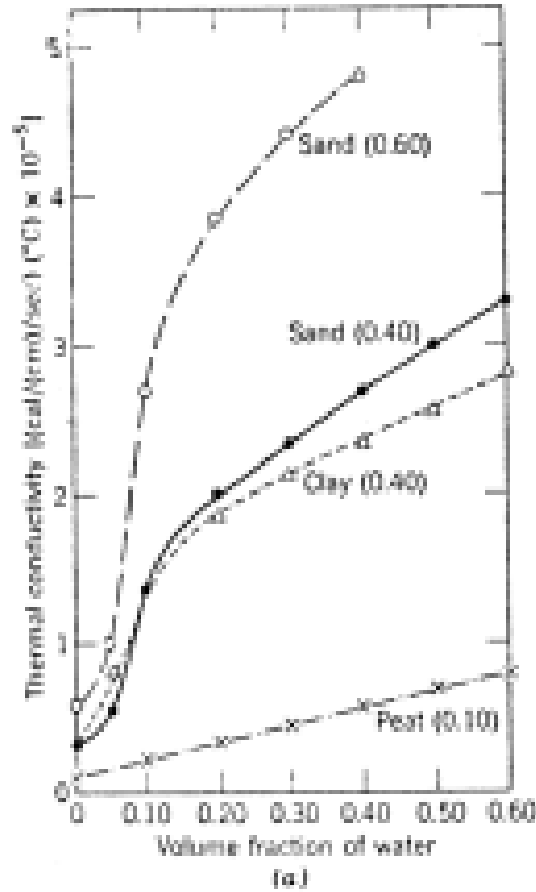
- النسبة الحرارية للتعب $Z_{٦٣}$
- + النسبة الحرارية للتعب $Z_{3٨}$
- النسبة الحرارية للتعب $Z_{٧٥}$
- ++ النسبة الحرارية للتعب $Z_{١٠٠}$
- النسبة الحرارية للتعب $Z_{٦٦,٦٦}$

للنظام ، ولهذا فالإبصالية الحرارية تضحل مع نقصان حجم الدقائق طبقاً لاختزال السطح المتلامس بين الدقائق والتي خلالها سوف تكون الحرارة جاهزة للجريان . لاحظ Patten (١٩٠٩) ان الإبصالية الحرارية للكاربوريتم كان اقل بمحدود ٧٠٪ عند نقصان حجم الدقائق من ٤٥٠ - الى ٦ ملمكرون ، ولدقائق الكوارتز كان $\frac{1}{20}$ ، $\frac{1}{10}$ ، من

ذلك لكثافة صلدة من الكوارتز. ان زيادة الكثافة الظاهرية يقلل من مساميتها ومن ثم يؤدي الى زيادة التلامس الحراري بين الدقائق الصلبة . ان الكمية الواطئة لا يصل الهواء تكون مختلة وان الإبصالية الحرارية تزداد . ان تأثير انضغاط التربة على الإبصالية الحرارية موضحة في الشكل (١٠ - ٢) و (١٠ - ٣)

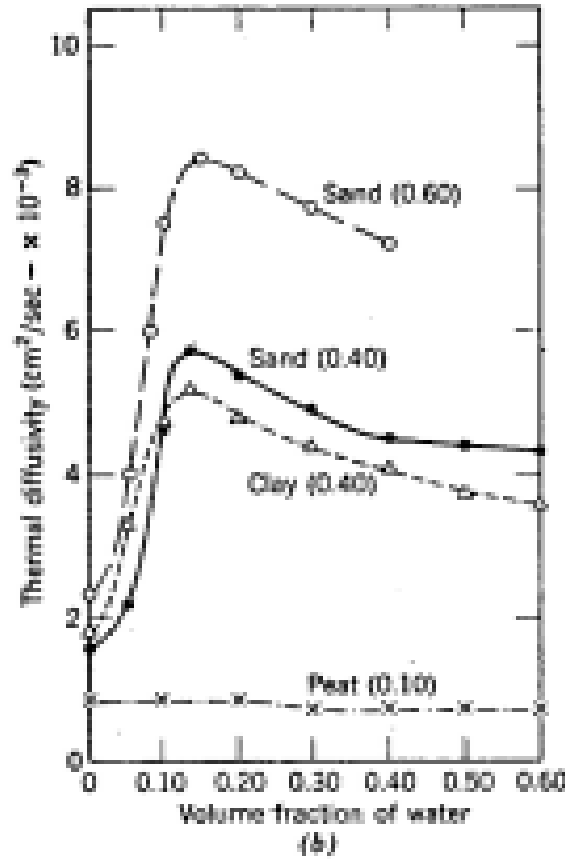


شكل (١٠ - ٢) تأثير الإبصالية الحرارية بكثافة التربة والمحتوى الرطوبي (من : Van Rooyen and Winterkorn, 1959).



شكل (١٠-٣) تأثير الماء على الإصالية الحرارية (من : Van Duin, 1963).

لتراب الجيرتوزيم ، ويلاحظ عند زيادة الكثافة الظاهرية للتربة الجافة من ١.١ - ١.٥ غم / سم^٣ تقل المسامية من ٥٩ - ٤٣ ٪ ومن ثم تؤدي إلى زيادة الإصالية الحرارية من ١.٠ × ١٠^{-٣} إلى ٢.١ × ١٠^{-٣} سم^٣/م. ومعنى آخر، أن نقصان المسامية بمقدار ٢٧.١ ٪ ينتج عنه مضاعفة الإصالية الحرارية وهذا ما توصل إليه كل من Van Duin (1963) و Rooyen and Winterkorn (1959) وفي (1963) توصل Van Duin إلى أن نقصان المسامية بمقدار ٥٠ ٪ للرمل (فضلاً عن الطين) أدت إلى مضاعفة الإصالية الحرارية والتي قد أدت إلى زيادة مقدارها بنسبة ٣٣ ٪ في انتشار الحرارة للرمل الجاف كما في الشكلين (١٠-٣) ، (١٠-٤) على التوالي.



شكل (10-1) تأثير الماء على الانتشارية الحرارية (من : Van Duin, 1963).

ب- المحتوى الرطوبي

ان الزيادة في الايصالية الحرارية كنتيجة لرفع الكثافة تكون صغيرة مقارنة مع الترب المضغوطة نتيجة لاضافة الماء. حيث ان الاغشية المائية عند نقطة التلامس بين الدقائق لا تؤدي الى تحسين التلامس الحراري بين الدقائق فقط ولكن ايضا لاحتلال الهواء في الفراغ المسامي للماء والتي تكون تقريبا (20 مرة) عند مقارنتها مع الايصالية الحرارية للهواء. حيث يتضح من الشكل (10-2) والشكل (10-3) الزيادة السريعة في الايصالية الحرارية والانتشارية كنتيجة لارتفاع النسبة المثوبة للماء في فراغ المسام. ان اعظم زيادة في معدل الايصالية الحرارية تحدث عند المستويات الواطئة من المحتوى الرطوبي. فاذا كانت الايصالية الحرارية للترب الجافة (الشكل 10-2) مع الكثافة الظاهرية 1:1 تعد مساوية الى 100، فالايصالية الحرارية عند الكثافة 1.2، 1.3، 1.5 تكون مساوية الى 130، 160 و 210 سعرة/سم. ثا م على التوالي. وعندما يكون فراغ المسام

٢٥٪ مملوءاً بالماء ، فالإبصالية الحرارية النسبية (١:١ طين-١٠٠) هي ٤٠٠ ، ٤٢٠ ، ٤٢٠ و ٤٤٠ سرعة/سم. تآم على التوالي وتصبح القيم مساوية الى ٦٧٠ ، ٧٢٥ ، ٨٠٠ و ٨٦٠ سرعة/سم. تآم على التوالي عندما يكون فراغ المسام ٥٠٪ مملوءة بالماء. ويكلمة اخرى ، فان الرص للكثافة على الإبصالية الحرارية تكون كبيرة عند المحتوى الرطوبي العالي الشكل (١٠-٣). ولنغرض تمييز وملاحظة تأثير الماء على الإبصالية الحرارية ، افترض وجود كرتين من الكوارتز الجاف موضوعة بتلامس مع بعضها الاخر ، فان الإبصالية تحدث خلال مساحة المقطع العرضي الصغير نسبيا عند نقطة التلامس. ومع اضافة كمية صغيرة من الماء في حواف نقاط التلامس للسطح ، يلاحظ بان الإبصالية الحرارية تزداد بدرجة كبيرة ومسافة الجريان خلال حواف الماء تكون صغيرة. اما مع الاضافة الزائدة للماء ، فسافة الجريان خلال الماء (حجم الماء) يزداد بسرعة مع ازدياد سطح التلامس ونتيجة لذلك فعدل اقبال الحرارة يجب ان يزداد ببطء اكثر كالسابق الشكل (١٠-٣).

رغم ان الرمل الناعم ، الترب المزيحية الغرينية والطين تظهر اختلافات في الإبصالية الحرارية كدالة لنسب الماء على اساس الوزن ، يلاحظ بان المنحنى يكون متشابهاً عندما يرسم مع الشد الرطوبي ، وهناك زيادة قليلة في الإبصالية الحرارية من الترب الجافة بالفرن تحت عمود الشد (PF) وذلك لان الاغشية المائية غير كافية لتجهيز التلامس الحراري بين الدقائق ، وتبدأ الإبصالية الحرارية بالارتفاع عند عمود الشد (PF) ٤,٥ وتصل قيمة تساوي نفس القيمة عند PF مساوي لـ ٣,٨ ، ولهذا فالإبصالية الحرارية تزداد بسرعة عند مستويات شد واطئة والتي تعتمد على دقائق التربة وهذا ما توصل اليه كل من (Nakshabandi and Kohnke ، ١٩٦٥). تزداد قيم الانتشار الحراري مع زيادة المحتوى الرطوبي الى اعلى ما يمكن وبعدها تتناقص قيمتها الشكل (١٠-٤) ، وهذا ما يتضح عن طريق الارتفاع الكبير في الإبصالية الحرارية عند المحتوى الرطوبي الواطئ عند مقارنتها مع زيادة السعة الحرارية للنظام (Patten ، ١٩٠٩) حيث ان قيمة C تصبح كبيرة عند زيادة المحتوى الرطوبي ، وتصل قيمة الإبصالية الحرارية لنفس قيمة الإبصالية الحرارية للماء وبالنتيجة يقل الانتشار (Jackson and Kirkham ، ١٩٥٨) الشكل (١٠-٤) يوضح الانتشار الظاهر ولاناخذ في الحساب الانتقال الحراري للماء.

ج - قياس الأبخاخة الحرارية

طريقة الحالة المستقرة لتقدير الأبخاخة الحرارية للتربة الرطبة بها تقطعتي ضعف رئيسين ، حيث تكون معرضة الى اعادة توزيع الماء تحت تأثير الأشهادار الحراري ولا يمكن استخدامها في الحقل . في حين طريقة الحالة غير المستقرة (الانبوب الأسطوانية) (Jackson and Taylor ، ١٩٦٥ ، و Vries and Peck ، ١٩٦٨) والتي تتغلب على هذه الصعوبات ، رغم ان بعض الحرارة تدفع جريان الرطوبة . حيث ان الطريقة اساسا تتكون من سلك معدني سميك يسخن كهربائيا ليخدم كمصدر حراري وجهاز لقياس ارتفاع الحرارة ، ويكون هناك جريان كروي من السلك الى التربة ويمكن حساب الأبخاخة الحرارية من المعادلة الآتية :

$$T - T_0 = \frac{q}{(4\pi k) d} + \ln(1 + t_0) \quad (1 < t_0)$$

حيث ان T_0 تمثل الحرارة عند t_0 ، $T - T_0$ هي ارتفاع درجة الحرارة ، q تمثل تطور الحرارة لكل وحدة زمن ووحدة طول من المصدر ، k ثابت ، t_0 هي الفترة الزمنية عند نهاية فترة التسخين ، t_0 تمثل ثابت التصحيح والذي يعتمد على ابعاد الانبوب (المدس) فضلاً عن الخصائص الحرارية لكل من الانبوب والتربة . فاذا كانت $T - T_0$ مرسومة مع اللوغاريتم الاعتيادي للزمن نحصل على خط مستقيم لقيم الزمن العالية ، وعليه فالأبخاخة الحرارية يتم حسابها من المعادلة الآتية :

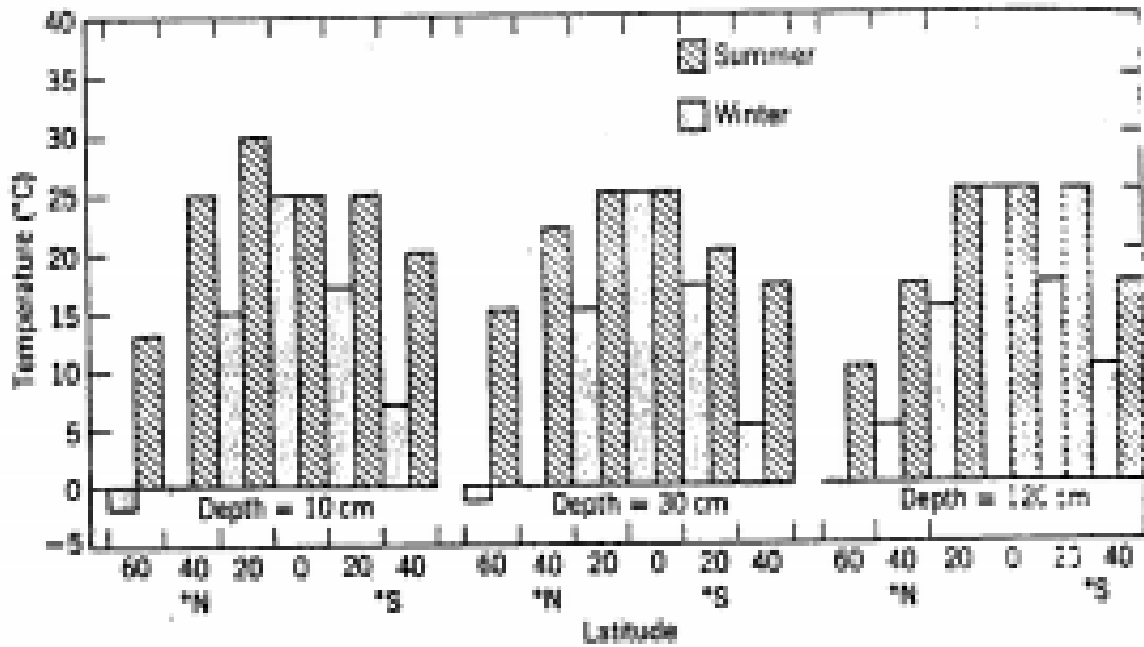
$$K = \frac{2.303 q}{4\pi S}$$

حيث ان S تمثل الميل المقاس ، $\frac{q}{4\pi k}$ نحصل عليها من المعادلة السابقة ، ونحصل على قيمة q من التيار المطبق على السلك (امبير) والمقاومة المقاسة (اوم / سم من المدس) .

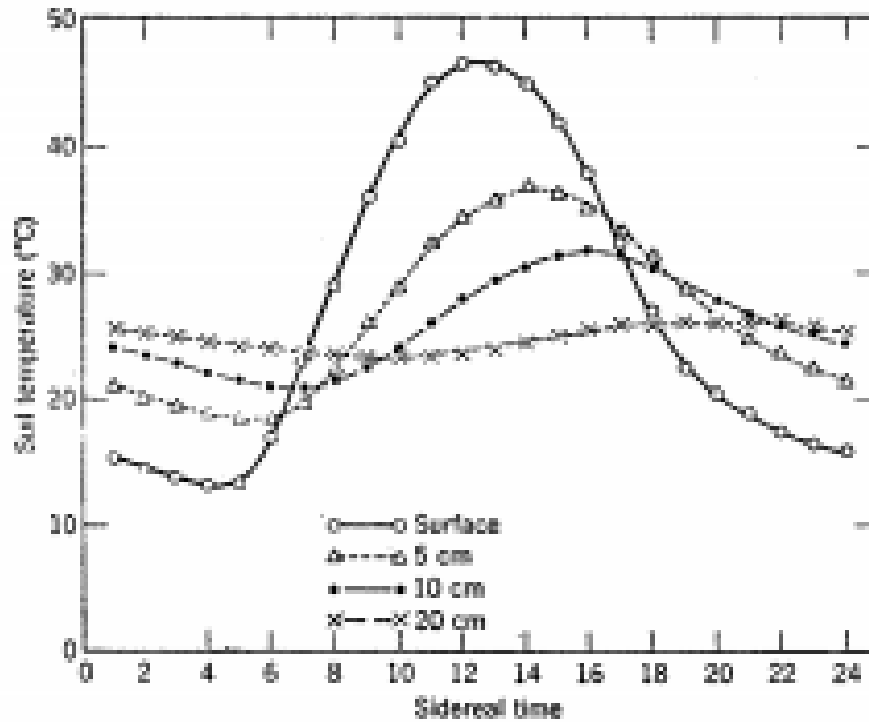
٣- التغيرات في حرارة التربة

أ- النموذج الشامل Global Pattern

ان المعلومات في الشكل (١٠-٥) تظهر أن الاشعة الشاملة كانت عالية في خطوط العرض الواطئة ، وانعكاس الطاقة الشمسية كانت قليلة في هذه الخطوط (خطوط العرض). وهذه الاختلافات في اشعة الشمس والمسؤولة عن اختلاف درجة حرارة التربة عند خطوط العرض المختلفة . ان درجة حرارة التربة في كل من الصيف والشتاء في الغلاف الجوي القوي الغربي الشكل (١٠-٦) وعلاقتها مع خطوط العرض وعمق التربة وتكون قيمها المحنة مقارنة من الحرارة المتماثلة (Chang ، ١٩٥٧) وهناك عدة حقائق معنوية لهذه القيم .



شكل (١٠-٥) تغيرات حرارة التربة مع طول خطوط العرض في الغلاف الجوي القوي الغربي (عن: Chang, 1957).



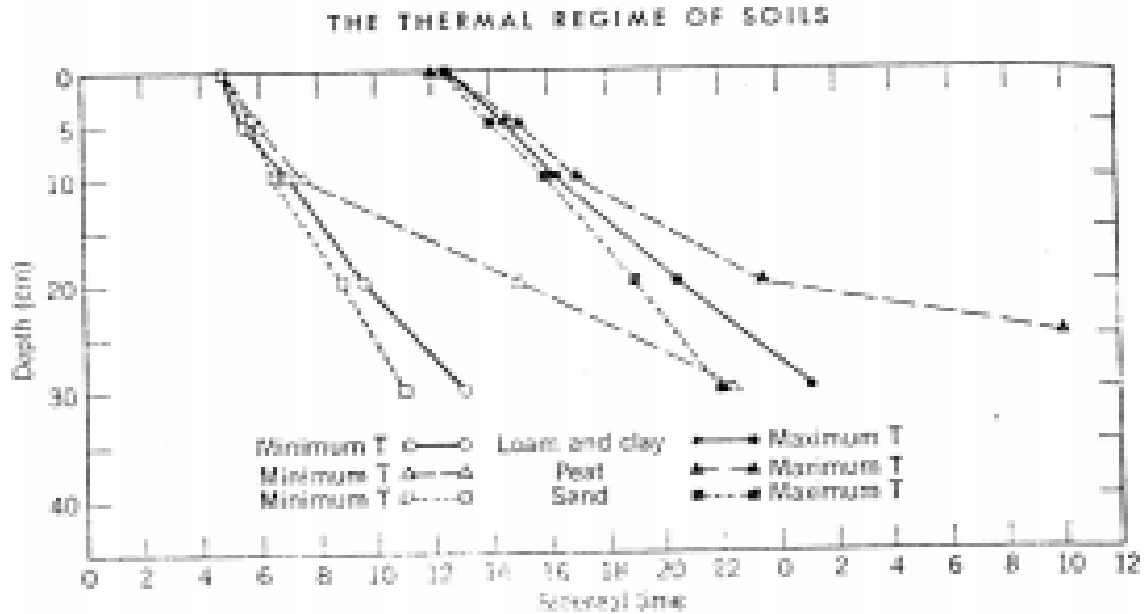
شكل (١٠-٦) الطويات اليومية في درجة الحرارة في التربة الغربية (عن : Yakuma, 1945).

- ١- حرارة التربة عند العمق (١٠ ، ٣٠ ، ١٢٠ سم) تقريبا نفسها عند خط عرض صفر على مدار السنة .
- ٢- حرارة التربة خلال الصيف عند خط ٢٠ شمال وجنوب تقريبا نفسها عند جميع الاعماق .
- ٣- حرارة التربة عند العمق (١٠ ، ٣٠ سم) تكون تقريبا هم اعلى في الصيف عند خط ٤٠ شمال من ذلك عند ٤٠ جنوب .
- ٤- حرارة التربة عند جميع الاعماق تزداد شتاءا من خطوط العرض العالية الى اعلى مايمكن عند خط الاستواء .
- ٥- حرارة التربة الشتوية عند جميع الاعماق وعند خط ٤٠ شمالا حوالي هم ابرد مما عند خط ٤٠ جنوبا .

لقد لاحظ Chang بان التربة في تموز عند خط ٦٠ شمالا تكون أدفأ من هواء التربة عند عمق ١٠ سم وهذا العمق يتغير بين ٢٠ ، ٤٠ سم في خط العرض الوسطي ، ٨٠ سم في المناطق الاستوائية الجافة ، ودرجة الصفر المتماثلة عند ١٠ سم تتبع حرارة الهواء ماعدا في اوربا الغربية ووسط امريكا الشمالية خاصة عندما تكون حرارة التربة اعلى بسبب سقوط الثلج .

ب- التغيرات الحرارية اليومية

هناك بحوث قدمت من قبل (Wollny ، ١٨٨٣ و Bouyoucos ، ١٩١٣) بينت ان تغيرات الحرارة اليومية في التربة متأثرة بواسطة طبقة التربة ، نوع الغطاء السطحي والاشعة الساقطة . الشكل (٧-١٠) يوضح نتائج (Yakuwa ، ١٩٤٥) ، حيث انه في الصباح وقبل شروق الشمس ادنى درجة حرارة للتربة عند السطح وتزداد مع العمق (مثال : ٤,٣٠ صباحا من اب ١٩٢٩ عندما تكون الحرارة السطحية تقريبا ١٣م° وكانت الحرارة عند العمق ٢٠ سم بحدود ٢٤م° ، وهذه الحرارة الدنيا قد انتقلت على هيئة امواج وتبطيء الحرارة عند الاعماق المختلفة)، وتستمر هذه الامواج بالانخفاض ، بعد شروق الشمس حتى عند دفأ سطح التربة ، وتصل حرارة التربة الحدود الدنيا عند الاعماق (٥ ، ١٠ ، ٢٠ ، ٣٠ سم) كما موضح في الشكل السابق للترب المزيجية والطينية ونتيجة لايبصاها الحراري المرتفع ، الرمل يظهر فيه الحرارة الدنيا عند ٥,٧٥ ، ٦,٥ ، ٨,٧٥ و ١١ على التوالي .



شكل (٧-١٠) علاقة نوع التربة مع معدل الاختراق للامواج الحرارية النظمي والاضطري (من: Yakuwa, 1945).

اما الترب العضوية والتي يكون ايصالها الحراري واطي تحتاج الى فترة زمنية طويلة للوصول الى الحرارة الدنيا للامواج حتى تصل اوطاً الاعماق وتصل الامواج الاعماق خلال (٦,٠٠ ، ٧,٥ ، ١٥ و ٢٢,٥ ساعة) على التوالي .

حالا بعد شروق الشمس ، حرارة السطح ترتفع وعند حوالي الساعة صباحا تكون اعلى مما للعمق ٢٠ سم ، واقصى حرارة للسطح تحدث عند الساعة (١٢,٣٠) وهذه الزيادة في حرارة السطح تسبب اقصى موجات حرارية لتتحرك نحو الاسفل وتصل الاعماق (٥ ، ١٠ ، ٢٠ سم) عند الساعة (١٤,٥ ، ١٦,٢٥ و ٢٠,٥) على التوالي في الترب المزيجية ، وتأخذ حتى الواحدة صباحا لليوم التالي للوصول الى العمق ٣٠ سم وان الموجات في الترب الطينية كانت نفسها للترب المزيجية ، فاقصى موجة حرارة في الترب الرملية تصل نفس الاعماق عند الساعة (١٤,٠٠ ، ١٦,٠٠ ، ١٩,٠٠ ، ٢٢,٠٠) على التوالي. اما الترب العضوية فتصل اقصى حرارة عند السطح حوالي ١٢ م وذلك بسبب ادمصاصها العالي واقصى قيمة عند الاعماق (٥ ، ١٠ ، ٢٠ ، ٣٠ سم) عند الساعة ١٥,٠٠ ، ١٧,٠٠ ، ٢٣,٥ ، ١٠) لليوم التالي على التوالي. هناك انقلاب في حرارة التربة عند السطح بعد الغروب وتصبح باردة أكثر من التي عند ٥ سم بحدود ١٦,٥ بعد ساعتين وكانت ابرد من التربة عند العمق ٢٠ سم. لاحظ Yakuwa (١٩٤٥) ان اتساع حرارة التربة للترب المختلفة ولعمق ٥ سم يتبع السلسلة الآتية الرمل < الترب المزيجية < الترب العضوية < الطين وهذا التسلسل للترب العضوية والطين كان معكوسا تحت ٢٠ سم .

ان العمق النسبي عندما تكون درجة حرارة الاتساع ٠,١ م للرمل ، الغرين ، الطين والترب العضوية كان ١٠٠ ، ٨٢ ، ٨٢ ، ٧٠ ، والتي تعكس الاصلية الحرارية النسبية لانواع الترب الاربعة . ووجد كذلك بان معدل حركة الحرارة القصوى تتغير من الساعة ٣,٣٠ الى ٥,٣١ ساعة لكل ٥ سم للترب الرملية والعضوية على التوالي .

ج- تغيرات الحرارة الموسمية

ان التغيرات الموسمية لحرارة التربة مع العمق تكون متشابهة في خصائصها للتغيرات اليومية ، وخلال اشهر الصيف (تموز، حزيران في الغلاف الشمالي) فالحرارة في وسط النهار متشابهة ، وتصل الاشعة ذروتها .

اما في اشهر الشتاء فلها تأثير مشابه لحرارة الليل والمعلومات التي حصل عليها Smith ، 1932 في كاليفورنيا تكون مثالية بالنسبة للتغيرات الملحوظة (التربة من 0,15-6,10م كانت ادفاً من الهواء من منتصف مايس حتى بداية اب) ، وخلال اشهر الشتاء ، الطبقات العميقة كانت ادفاً عند عمق 0,15م وكان الانحدار الحراري للاعلى وانقلاب الانحدار الحراري يحدث بحدود 1 مايس الى منتصف ايلول خاصة عندما كان الانحدار الحراري نحو الاسفل وهناك موجات فعلية لحرارة التربة واقصى حرارة عند 15,24 سم و 15 ، 3 ، 5 ، 6 ، 8 ، 9 متر تحدث تقريبا في 1 ، 15 ، تموز و 1 ، 15 اب و 1 ، 15 ايلول ، 15 تشرين الاول على التوالي ، وهذه الاختلافات الفصلية كانت مرتبطة مع الاشعة القادمة ، خصائص الحرارة لمقد التربة كما ترتبط بالتغيرات في المحتوى الرطوبي والانحدار الحراري .

4- التحويرات في نظام حرارة التربة

ان النظام الحراري للتربة يمكن تحويره بواسطة انتظام الاشعة الساقطة والمخرجة (المنعكسة) أو بواسطة تغيير الصفات الحرارية للتربة .

أ- تأثير النبات

ان اساسيات التراص في الغطاء النباتي تأخذ اهمية الحزام النباتي على حرارة التربة . حيث وجد Chudnovskii ، 1966 قيم تأثير الحزام الاخضر على الغلاف الجوي لمحيط التربة بين الاشجار ، ووجد أن سرعة الرياح بين الاشجار كانت مختلة 20-40٪ بدرجة اكبر مما في الجو المفتوح عند العمق 50 سم . كانت الرطوبة النسبية اكبر بدرجة 2-4٪ وكانت حرارة التربة اكبر ، توازن الطاقة بين الاشجار يعتمد على النظم الزراعية المستعملة ، يلاحظ ان الاشعة النشطة والتدفق الحراري الى التربة كانت اعلى تحت الارض المتروكة عن تلك المزروعة بالحنطة أو الحبوب .

ب- الاغطية

تأثير الاغطية على النظام الحراري يقلل من الانقلابات والتغيرات اليومية والموسمية لحرارة التربة (Kohnke and Werkhoven ، 1963) وهناك اختلافات قليلة بين

الاعطية والارض المتروكة بدون زراعة في منتصف الصيف . حرارة الترب المغطاة عند عمق ٣ سم كانت نفسها عند الترب المغطاة عند العمق ١٠ سم وكانت الترب المغطاة ابرد في الربيع ، الصيف والخريف وتدفاً أكثر بظناً من كانون الثاني الى اذار (Hassan, et. al. ، ١٩٨٩) . في الترب غير المغطاة تصل الحرارة الدنيا للنبات الجيد للذرة (٦١م) مبكرة لفترة اسبوعين من الترب المغطاة . ينصح بالتغطية بالورق الابيض في النطاق الحار والجاف لزيادة انعكاس الاشعة الساقطة خلال النهار، حيث ان الورق الاسود يجب ان يستعمل في النطاق البارد لامتناس طاقة الاشعة خلال النهار ويقلل الحرارة المفقودة في الليل (Chudnovskii ، ١٩٦٦) .

ج- الري واليزل

ان الري يزيد السعة الحرارية للتربة ، ويرفع الرطوبة النسبية للهواء ، فوق التربة ويزيد الايصالية الحرارية ، وهذا يمتثل تغيرات حرارة التربة اليومية . ان تدفق الحرارة المضطرب الى هواء التربة فوق الترب غير المروية كانت ٥٩٠ سم^٢/ ساعة خلال ٢٤ ساعة . اما تحت نظام الري بالرش كانت مختزلة الى ١١٩ سم^٢/ ساعة خلال ٢٤ ساعة ، اما اليزل فيقلل السعة الحرارية للترب الرطبة والتي ترفع حرارة التربة وهذا يلعب دوراً مهماً في تدفئة التربة في فصل الربيع .

د- تغير الخصائص الفيزيائية للترب السطحية

ان عملية رص وانضغاط الترب السطحية تزيد من كثافة التربة وايصالها الحراري ، ومن جهة ثانية فعلمية الحرارة تمتثل التدفق الحراري من السطح الى الطبقة تحت السطحية .

ان اتساع الموجات اليومية في الترب الهروثة تكون اكبر بكثير من الترب غير الهروثة ، اما الترب المشدة تكون ابرد في الليل من الترب المضغوطة وهذه تجعل الترب المشدة حساسة وسريعة التاثر بالانجماد . ان وجود سلسلة مرتفعة في الحقل تسبب زيادة التبخر وتقلل نسبة ما ينعكس من اشعة الشمس الساقطة ، والتي تعني بان الاشعة الساقطة والنشطة تكون

كبيرة ، وبالمقارنة فحرارة الحقل المرتفع أو الحاوي على سلسلة تكون اعلى من تلك الحقل المستوية .

مثال (١)

إذا علمت أن المحتوى الرطوبي لترية معينة ٠,٢٠ على اساس الحجم ، درجة حرارتها ١٦م وان كثافتها الظاهرية ١,٣ غم / سم^٣ . اوجد مقدار الحرارة اللازمة لرفع درجة حرارة الترية الى ٢٢م لعمق ٩٠ سم بوحدة المساحة .

$$Q_d = C_p V \Delta T$$

$$C_p = 0.2 \rho_s + Q_v$$

$$Q_d = (0.2 \rho_s + Q_v) V \Delta T$$

$$\begin{aligned} \text{مقدار الحرارة} &= [(٠,٢) (١,٣ \text{ غم/سم}^٣) (٠,٢) + (٠,٢) (٠,٤٦ \text{ سعرة/سم}^٣)] [(٩٠ \text{ سم}) (١ \text{ سم}) (١ \text{ سم})] \\ &= [(٠,٢) (١,٣) (٠,٢) + (٠,٢) (٠,٤٦)] [(٩٠) (١) (١)] \\ &= ٢٤٨,٤ \text{ سعرة حرارية} \end{aligned}$$

مثال (٢)

إذا كانت مقدار الحرارة اللازمة لرفع درجة حرارة الترية ١٠٠ سعرة ومحتوى رطوبة الترية على اساس الحجم ٠,٢٢ وكثافتها الظاهرية ١,٣٢ غم / سم^٣ . اوجد مقدار التغير في درجة حرارة الترية لعمق ٨٠ سم .

$$Q_d = (0.2 \rho_s + Q_v) V \Delta T$$

$$\Delta T = \frac{Q_d}{(0.2 \rho_s + Q_v) V}$$

١٠٠ سرعة

$$\frac{\text{التغير في درجة الحرارة} = \text{سرعة}}{[(٠,٢) (١,٣٢ \text{ غم/سم}^٣) (\text{سرعة/غم.م}) + (٠,٢٢) (\text{سرعة/سم}^٣)]}$$

$$[(٨٠ \text{ سم}) (١ \text{ سم}) (١ \text{ سم})]$$

١٠٠ سرعة

$$\dot{Q} = \frac{100}{(38,72 \text{ سرعة/م})} = 2,583 \text{ م}$$

مثال (٣)

إذا كانت درجة حرارة سطح التربة ١٥ م وعند العمق ٥ سم ٢٠ م. إذا علمت أن معامل التوصيل الحراري ٠,٠٠٣ سرعة/سم ثانية درجة مئوية. أوجد كمية الحرارة المتدفقة من السطح ولعمق ٥ سم خلال يوم واحد بافتراض ان درجة الحرارة تبقى ثابتة خلال اليوم.

$$Q_d = K A l \frac{T_1 - T_2}{d_1 - d_2}$$

كمية الحرارة المتدفقة = ٠,٠٠٣ سرعة/سم ثا م × ١ سم × ١ سم × ١ سم × ١ يوم × ٨٦٤ × ١٠ يوم

$$\frac{15 - 20}{(5 - 0) \text{ سم}}$$

= ٢٥٩,٢ سرعة.

مثال (٤)

عند قياس كثافة فيض الحرارة لتربة ما - ٤٠ سرعة/سم^٢ يوم ومعامل التوصيل الحراري ٠,٠٠٣ سرعة/سم ثا م. أوجد معدل الانحدار في درجة الحرارة والذي يسبب التدفق الحراري.

$$Q = -K \frac{\Delta T}{\Delta d}$$

$$\frac{\Delta T}{\Delta d} = - \frac{Q}{K}$$

معدل الانحدار = $\frac{- 40 \text{ سرعة/سم} \times 2 \text{ سم}}{0,003 \text{ سرعة/سم} \times 10^{-3} \text{ م} \times 8,64 \times 10^{-10} \text{ م}^2/\text{ث} \times \text{سم}}$

$- 3015 \text{ م}^2/\text{سم}.$